

01; 07

© 1992

ТЕОРИЯ НЕЛИНЕЙНОГО НАПРАВЛЕННОГО ОТВЕТВИТЕЛЯ  
С РЕЗОНАНСНЫМИ ПРИМЕСЯМИ

Ф.Х. Абдуллаев, Р. Гулямов

В последнее время в связи с нарастанием интереса к использованию оптических логических устройств были разработаны нелинейные направленные ответвители [1, 2], способные осуществлять полностью оптическое переключение сигналов. Основой для них являются вещества с керровской нелинейностью. Однако в подобных средах необходимый порог мощности для распространения солитонного импульса является достаточно высоким (~5 кВт) [3, 4].

Наряду с этим распространение света в среде с резонансной нелинейностью также привлекает внимание из-за сильной нелинейности и, вследствие этого, меньшим значением порога необходимой мощности. Недавно была предложена [5] модель нелинейного резонансного направленного ответвителя (НРНО), где диэлектрическая матрица содержала резонансные примеси. В численном эксперименте была обнаружена локализация светового импульса в одном канале ответвителя и перекачка энергии из одного канала в другой порциями, кратными  $2\pi$  импульсам. Это делает такой тип НРНО перспективным для применений в качестве оптического переключателя и логических устройств. Цель настоящей работы состоит в аналитическом объяснении явления локализации солитона в канале НРНО и исследовании взаимодействия солитонов в НРНО. Последний процесс перспективен с точки зрения разработки солитонных оптических фильтров.

Рассматриваемый в данной работе направленный ответвитель состоит из двух близко расположенных друг к другу плоских диэлектрических волноводов. В этом случае имеется туннельная связь между полями в волноводах за счет проникновения поля из одного волновода в другой. Пусть в материале волновода содержатся примеси, которые резонансно взаимодействуют с полем падающего излучения. Примеси будем описывать как систему невзаимодействующих двухуровневых атомов. Используя уравнения Блоха, описывающие временную эволюцию двухуровневой системы, получаем систему связанных уравнений Максвелла-Блоха для нелинейного направленного ответвителя [5]:

$$\begin{aligned} \frac{\partial}{\partial t'} P_j &= -(\gamma_j' - i\Delta') P_j + \frac{i}{2} U_j W_j, \\ \frac{\partial}{\partial t'} W_j &= -\gamma_j' W_j + i(U_j^* P_j - P_j^* U_j), \\ \frac{\partial U_l}{\partial z'} + \frac{1}{V} \frac{\partial U_l}{\partial t'} - iK U_l &= iP_j, \quad j, l = 1, 2 \quad l \neq j. \end{aligned} \quad (1)$$

Здесь использованы безразмерные  $P$  – поляризация,  $W$  – инверсная населенность,  $U$  – напряженность электрического поля,  $\gamma_1$  и  $\gamma_2$  отвечают за пространственную и временную релаксацию,  $\Delta$  – отстройка частоты падающей волны от резонансной,  $V$  – групповая скорость волны,  $K$  есть нормированная линейная константа связи направленного ответвителя. При выводе предполагалось также, что поперечное распределение примесей совпадает с профилем показателя преломления волноводов. Система уравнений (1) была решена численно [5] при различных значениях  $K$  и формы падающего импульса. Было изучено явление локализации падающего импульса в волноводе и процессы столкновения солитонов.

Проанализируем здесь эту проблему аналитически. Возьмем для простоты частный случай уравнений (1) при  $\Delta = 0$  и  $\gamma_1 = \gamma_2 = 0$ , что соответствует точному резонансу и бесконечно большим временам релаксации. Тогда можно перейти к новым функциям с помощью замены

$$\begin{aligned} P_1 &= -i \sin \theta_1, & W_1 &= -2 \cos \theta_1, & U_1 &= \theta_{1t}, \\ P_2 &= -\sin \theta_2, & W_2 &= -2 \cos \theta_2, & U_2 &= -i \theta_{2t}. \end{aligned} \quad (2)$$

Переходя к переменным  $\zeta = z'$  и  $\tau = t' - z'/V$  сводим уравнения (1), с учетом (2), к двум связанным уравнениям sine-Gordon:

$$\begin{cases} \theta_{1\zeta\tau} = \sin \theta_1 + K \theta_{2\tau}, \\ \theta_{2\zeta\tau} = \sin \theta_2 - K \theta_{1\tau}. \end{cases} \quad (3)$$

Пусть в первом волноводе распространяется световой импульс, а во втором в момент  $\tau = 0$  он отсутствует. Тогда, при условии локализации импульса в первом световоде,  $\theta_2$  будет много меньше  $\theta_1$ , и поэтому во втором из уравнений (3) можно пренебречь  $\sin \theta_2$  по сравнению с членом, содержащим  $\theta_{1\tau}$ . Таким образом из системы уравнений (3) мы получаем следующее замкнутое уравнение для  $\theta_1$ :

$$\theta_{1\zeta\tau} = \theta_{1\zeta} \cos \theta_1 - K^2 \theta_{1\tau}, \quad (4)$$

где обозначено  $\theta_1 \equiv \theta$ . Здесь и далее везде мы считаем коэффициент связи  $K$  постоянной величиной.

Переходя к переменной  $\eta = \nu t + \zeta / V$ , где  $\nu$  – константа, пропорциональная скорости импульса и интегрируя, получаем уравнение

$$\frac{\theta_\eta^2}{2} = -\cos \theta - \frac{\lambda^2}{2} \theta^2 + E, \quad \lambda = K\nu, \quad (5)$$

где  $E = \text{const}$ .

Проанализируем уравнение (5) с помощью фазовых траекторий. Видно, что это уравнение эквивалентно уравнению движения квази-

Частицы во внешнем поле, где константа  $E$  есть энергия, а потенциал выражается как

$$U = \cos \zeta + \lambda^2 \zeta^2 / 2. \quad (6)$$

Ясно, что характер движения квазичастицы определяется значением параметра  $\lambda^2$ . На рис. 1 и 2 приведены соответствующие фазовые портреты  $\zeta \eta = f(\zeta)$  при различных  $\lambda$ . Видно, что при  $\lambda^2 > 1$  (рис. 1) существуют только периодические решения (6). При  $\lambda^2 < 1$   $U(\zeta)$  представляет собой двухямный потенциал, и, в зависимости от величины энергии  $E$  возникают два вида периодических решений, разделенных сепаратрисой при  $E = 1$ . Сепаратрисе соответствуют два импульса в виде уединенных волн, затухающих на бесконечности и достигающих при  $\eta = 0$  значения  $\pm \zeta_0$ , где  $\zeta_0$  есть решение трансцендентного уравнения:

$$\lambda \zeta_0 / 2 = \pm 2 \sin(\zeta_0 / 2). \quad (7)$$

При  $\lambda^2 \ll 1$  (рис. 2) на фазовом портрете возникают также сепаратрисы, описывающие солитонные решения, принимающие при  $\eta \rightarrow \pm \infty$  значения, соответственно,  $\pm \zeta^*$ , где  $\zeta^*$  есть решение уравнения:

$$\lambda^2 \zeta^* = \sin \zeta^*, \quad (8)$$

Для случая малых  $\zeta$  можно найти решение в виде солитоноподобного импульса

$$\zeta(\zeta, \tau) = 2\sqrt{3(1-K^2v^2)} \operatorname{sech} \left[ \sqrt{1-K^2v^2} (\omega\tau + \zeta/v) \right]. \quad (9)$$

Отметим что оно представляет новый тип импульсов, отсутствующих в случае одного волновода. Видно также, что значение  $Kv = 1$  является критическим параметром нашей задачи.

Таким образом, видна возможность локализации падающего импульса в одном световоде в зависимости от параметров задачи, причем при данном значении коэффициента связи  $K$  существует критическое значение параметра солитона  $v$  (который, как известно, связан с амплитудой и скоростью солитона), выше которого солитон разрушается. Следовательно, данное устройство можно использовать в качестве фильтра для солитонов по скоростям и амплитудам. В качестве среды обеспечивающей режим СИП можно выбрать полупроводник  $GdS$  со связанными состояниями экситонов, захваченных примесями. Эти связанные состояния можно рассматривать как двухуровневые атомы с большим дипольным моментом. Оценка показывает, что при концентрации связанных экситонов  $10^{19} \text{ м}^{-3}$ , длины НРНО  $\sim \text{мм}$  и  $\tau = 2 \rho s$  пиковая мощность переключения  $2 \pi$  солитона порядка  $50 \text{ мВт}$  [5, 6].

Аналитическое исследование столкновений солитонов распространяющихся по разным каналам. показывает, что возможен обмен

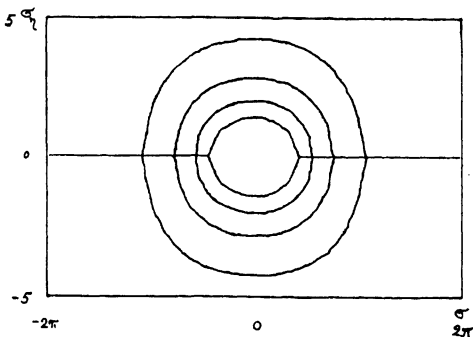


Рис. 1. Фазовый портрет при  $\lambda^2 = 2$ . Различные кривые соответствуют  $E = 2, 3, 5, 10$  соответственно.

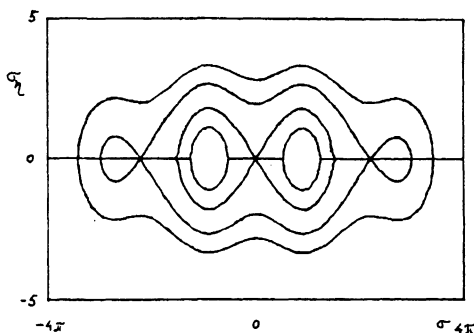


Рис. 2. То же для  $\lambda^2 = 0,09$  и  $E = 0, 1, 2,96, 5$ .

энергией между солитонами. Последнее перспективно для создания солитонных логических устройств. Подробное изложение этих результатов будет опубликовано отдельно.

#### С п и с о к л и т е р а т у р ы

- [1] Маркузе Д. Оптические волноводы. М.: Мир, 1976. 400 с.
- [2] Майер А.А. // Квантовая электроника. 1982. Т. 9. С. 2296.
- [3] Abdullaev F.Kh., Abrarov R.M., Darmanyan S.A. // Opt. Lett. 1989. V. 14. P. 29.
- [4] Trillo S., Wabnitz S., Wright E.M., Stegeman G.I. // Opt. Lett. 1988. V. 13. P. 672
- [5] Guzman M., Romagnoli M., Wabnitz S. // Appl. Phys. Lett. 1990. V. 56. P. 614.
- [6] Watanabe K., Nukono H., Honold A., Yamamoto Y. // Phys. Rev. Lett. 1989. V. 62. P. 2257.